

Московский физико-технический институт
Факультет молекулярной и химической физики

Задание по курсу
Вычислительная математика
Гиперболические системы уравнений

Выполнил
студент 3 курса
643 группы ФМХФ
Зарубин Всеволод

13 мая 2019 г.

1 Постановка задачи

Необходимо численно решить систему линейных гиперболических уравнений.

1.1 Параметры задачи

Используются разностные схемы:

1. Схема Куранта-Изаксона-Риса
2. Гибридная схема Федоренко.

Порядок схемы изменяется от второго в областях гладкости решения, до первого в областях больших градиентов.

Модельное уравнение:

$$\frac{\partial \mathbf{u}}{\partial t} + \mathbf{A} \frac{\partial \mathbf{u}}{\partial x} = 0, a = \text{const} > 0 \quad (1)$$

Сетка:

$$xm = mh, m = 0..M, Mh = 1; t^n = n\tau, n = 0..N, N\tau = 1$$

1.2 Рассматривается следующая система линейных гиперболических уравнений

$$\frac{\partial \mathbf{u}}{\partial t} + \mathbf{A} \frac{\partial \mathbf{u}}{\partial x} = \mathbf{b}(x), 0 \leq x \leq 1, 0 \leq t \leq 1, \quad \mathbf{u}(x, 0) = \begin{pmatrix} x^3 \\ 1 - x^2 \\ x^2 + 1 \end{pmatrix} \quad (2)$$

$$\mathbf{A} = \begin{pmatrix} -4 & \frac{3}{5} & \frac{128}{5} \\ -1 & -\frac{36}{5} & -\frac{16}{5} \\ 1 & \frac{1}{5} & -\frac{19}{5} \end{pmatrix}, \mathbf{b}(x) = \begin{pmatrix} 0 \\ 0 \\ 0 \end{pmatrix} \quad (3)$$

1.3 Конкретизация задачи

- Привести систему к характеристическому виду, предложить корректную постановку граничных условий.
- Решить численно систему уравнений с использованием указанных разностных схем.
- Определить характер преобладающей ошибки.
- Определить, монотонна ли схема.
- Оценить апостериорно порядок сходимости схем.

2 Решение задачи

2.1 Приведение системы к характеристическому виду

Выполним спектральное разложение матрицы A системы:

$$A = PDP^{-1} \quad (4)$$

2.1.1 Справка

Спектральное разложение матрицы — это представление квадратной матрицы A в виде произведения трёх матриц,

$$A = V \times \Lambda \times V^{-1}, \quad A = V \times \Lambda \times V^{-1},$$

где V — матрица, столбцы которой являются собственными векторами матрицы A ,
 Λ — диагональная матрица с соответствующими собственными значениями на главной диагонали,
 V^{-1} — матрица, обратная матрице V .

С учётом разложения система принимает вид:

$$\frac{\partial \mathbf{u}}{\partial t} + \mathbf{PDP}^{-1} \frac{\partial \mathbf{u}}{\partial x} = 0 \quad (5)$$

Домножая слева на P^{-1} , получим систему в характеристическом виде:

$$\frac{\partial \mathbf{R}}{\partial t} + \mathbf{D} \frac{\partial \mathbf{R}}{\partial x} = 0 \quad (6)$$

где $\mathbf{R} = \mathbf{P}^{-1} \mathbf{u}$

2.1.2 Элементы разложения

$$\lambda_1 = -9, \lambda_2 = -7, \lambda_3 = 1 \quad (7)$$

$$D = \begin{pmatrix} -9 & 0 & 0 \\ 0 & -7 & 0 \\ 0 & 0 & 1 \end{pmatrix}, \quad P = \begin{pmatrix} -5 & \frac{-1}{5} & 5 \\ -1 & 1 & -1 \\ 1 & 0 & 1 \end{pmatrix} \quad \mathbf{u}(x, 0) = \begin{pmatrix} x^3 \\ 1 - x^2 \\ x^2 + 1 \end{pmatrix} \quad (8)$$

Спектральное разложение:

$$A = \begin{pmatrix} -4 & \frac{3}{5} & \frac{128}{5} \\ -1 & \frac{-36}{5} & \frac{-16}{5} \\ 1 & \frac{1}{5} & \frac{-19}{5} \end{pmatrix} = \begin{pmatrix} -5 & \frac{-1}{5} & 5 \\ -1 & 1 & -1 \\ 1 & 0 & 1 \end{pmatrix} \begin{pmatrix} -9 & 0 & 0 \\ 0 & -7 & 0 \\ 0 & 0 & 1 \end{pmatrix} \begin{pmatrix} -\frac{1}{10} & \frac{-1}{50} & \frac{12}{25} \\ 0 & 1 & 1 \\ \frac{1}{10} & \frac{1}{50} & \frac{13}{25} \end{pmatrix} \quad (9)$$

В итоге получаем следующую систему уравнений:

$$\mathbf{u} = \mathbf{P} \mathbf{R} \quad (10)$$

$$\begin{cases} \frac{\partial R_1}{\partial t} - 9 \frac{\partial R_1}{\partial x} = 0 \\ \frac{\partial R_2}{\partial t} - 7 \frac{\partial R_2}{\partial x} = 0 \\ \frac{\partial R_3}{\partial t} + 1 \frac{\partial R_3}{\partial x} = 0 \end{cases} \quad (11)$$

Начальные условия для инвариантов Римана:

$$\mathbf{R}(x, 0) = \begin{pmatrix} \frac{-5x^3+25x^2+23}{50} \\ 2 \\ \frac{5x^3+25x^2+27}{50} \end{pmatrix} \quad (12)$$

2.2 Схема КИР

Для третьего уравнения системы применима схема:

$$\frac{u_m^{n+1} - u_m^n}{\tau} + a \frac{u_m^n - u_{m-1}^n}{h} = 0 \quad (13)$$

Для первого и второго уравнения установим $a < 0$:

$$\frac{u_m^{n+1} - u_m^n}{\tau} + a \frac{u_{m+1}^n - u_m^n}{h} = 0 \quad (14)$$

Согласно определению Фридрихса, данные схемы не являются монотонными. Первое дифференциальное приближение запишется следующим образом:

$$r_{\tau h} = Lu - \frac{ch}{2} \left(1 - \frac{c\tau}{h}\right) \frac{\partial^2 u}{\partial x^2} + O(\tau^2 + h^2) \quad (15)$$

Можно видеть, что преобладает диссипативная ошибка.

2.2.1 К определению Фридрихса

Выяснить, является ли явная четырехточечная схема

$\frac{u_m^{n+1} - u_m^n}{\tau} = a \Lambda_{xx} u^n$ *монотонной*. Монотонные разностные

схемы (по Фридрихсу) — это схемы, которые при записи в виде, разрешенном относительно u_m^{n+1} при значениях сеточной функции во всех остальных точках шаблона, имеют неотрицательные коэффициенты. Монотонные разностные схемы не дают паразитные осцилляции в решении.

2.2.2 К терминам диссипативная и дисперсионная ошибка

Главный член в выражении для погрешности аппроксимации в рассматриваемом случае пропорционален производной u_{xx} , т. е. он аналогичен диссипативному вязкому члену в одномерном уравнении движения жидкости. Например, если коэффициент вязкости μ постоянен, то градиент вязкого трения в одномерном уравнении Навье — Стокса можно записать в виде

$$\frac{\partial}{\partial x}(\tau_{xx}) = \frac{4}{3}\mu \cdot u_{xx}$$

Следовательно, при $r \neq 1$ схема с разностями против потока неявно вводит в уравнение *искусственную вязкость*, которую часто называют *неявной (схемной) искусственной вязкостью* в отличие от *явной* искусственной вязкости, которая преднамеренно вводится в разностное уравнение. Искусственная вязкость сглаживает решение уравнения, уменьшая градиенты всех параметров независимо от причины возникновения этих градиентов, физической или вычислительной. Такое свойство разностной схемы, обусловленное наличием в выражении для погрешности аппроксимации производных четного порядка, называют *диссипацией* на разностной сетке.

Другое близкое к физическому свойство разностных схем называют *дисперсией*. Оно непосредственно связано с производными нечетного порядка в выражении для погрешности аппроксимации. Дисперсия приводит к искажению соотношения фаз различных волн. Совместное воздействие диссипации и дисперсии на решение иногда называют *диффузией*. Диффузия приводит к растяжению крутых линий раздела, которые могут появляться в расчетной области. На рис. 5 показаны эффекты диссипации и дисперсии на расчет разрыва. Обычно если главный член в выражении для погрешности аппроксимации содержит производную четного порядка, то схема обладает в основном диссипативными свойствами, а если производную нечетного порядка — то дисперсионными.

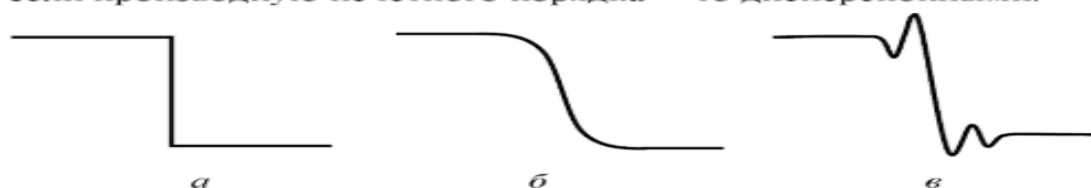


Рис. 5. Влияние диссипации и дисперсии:
 а — точное решение; б — численное решение, полученное в том случае, когда **ошибка** является в основном диссипативной (такое решение типично для схем первого порядка точности); в — численное решение, полученное в случае, когда **ошибка** является в основном дисперсионной (такое решение типично для схем второго порядка точности).

2.3 Реализация схемы КИР

Какой то неприятный косяк с размером изображений/
 Поэтому реализация второй схемы не будет здесь приводиться.
 Порядок аппроксимации оценен как второй.

```
In [310]: import abc
import numpy as np

class TwoLayerDifferenceScheme(object):
    def __init__(self, t0, te, x0, xe, xsteps, tsteps, init: callable):
        self.t = t0
        self.te = te
        self.xgrid = np.linspace(x0, xe, xsteps + 1)
        self.h = self.xgrid[1] - self.xgrid[0]
        self.tgrid = np.linspace(t0, te, tsteps + 1)
        self.tau = self.tgrid[1] - self.tgrid[0]
        self.u_current = init(self.t, self.xgrid)

    @abc.abstractmethod
    def step(self):
        raise NotImplementedError

    def solve(self):
        yield self.u_current
        while self.t < self.te:
            self.step()
            yield self.u_current
```

Рис. 1: Модель разностной схемы

```
In [311]: class KIRLeft(TwoLayerDifferenceScheme):
    def __init__(self, t0, te, x0, xe, xsteps, tsteps, init: callable, a):
        super(KIRLeft, self).__init__(t0, te, x0, xe, xsteps, tsteps, init)
        assert a > 0
        self.a = a
    def step(self):
        u = np.zeros_like(self.u_current)
        u[0] = self.u_current[0]
        for i in range(1, len(u)):
            u[i] = self.u_current[i] - (self.tau * self.a / self.h) * (self.u_current[i] - self.u_current[i-1])
        self.u_current = u
        self.t += self.tau

class KIRRight(TwoLayerDifferenceScheme):
    def __init__(self, t0, te, x0, xe, xsteps, tsteps, init: callable, a):
        super(KIRRight, self).__init__(t0, te, x0, xe, xsteps, tsteps, init)
        assert a < 0
        self.a = a
    def step(self):
        u = np.zeros_like(self.u_current)
        u[-1] = self.u_current[-1]
        for i in range(0, len(u)-1):
            u[i] = self.u_current[i] - (self.tau * self.a / self.h) * (self.u_current[i+1] - self.u_current[i])
        self.u_current = u
        self.t += self.tau
```

Рис. 2: Реализация рекуррентного задания u_n

2.4 Графики решения

2.5 Схема Федоренко

$$\frac{u_m^{n+1} - u_m^n}{\tau} + \frac{u_m^n - u_{m-1}^n}{h} + \frac{\gamma}{2\tau} \left(\frac{a\tau}{h} - \frac{a^2\tau^2}{h^2} \right) (u_{m+1}^n - 2u_m^n + u_{m-1}^n) = 0 \quad (16)$$

$$\gamma = \begin{cases} 1, & |y_{m-1}^n - 2y_m^n + y_{m+1}^n| < \xi |y_m^n - y_{m-1}^n| \\ 0, & |y_{m-1}^n - 2y_m^n + y_{m+1}^n| > \xi |y_m^n - y_{m-1}^n| \end{cases} \quad (17)$$

Данная схема при обращении анализатора гладкости решения в ноль переходит в схему Куранта-Изаксона-Риса. Всё, что сказано о ней в предыдущей части остаётся справедливым. В случае $\gamma = 1$ получаем

схему второго порядка аппроксимации. В первом дифференциальном приближении (в данном отчёте не приводится ввиду громоздкости выкладок) находятся члены с третьей производной, что говорит о преобладании дисперсионной ошибки. Согласно определению Фридрихса, схема не является монотонной.

В отличие от предыдущего случая, для использования данного метода придётся задать граничные условия для обоих концов расчётного отрезка. Поэтому решения, полученные при помощи предыдущих схем и схемы Федоренко, будут качественно отличаться друг от друга.

В рассматриваемом примере при изменении параметра ξ не происходит существенных изменений внешнего вида решений. Далее приводятся графики построенных решений.

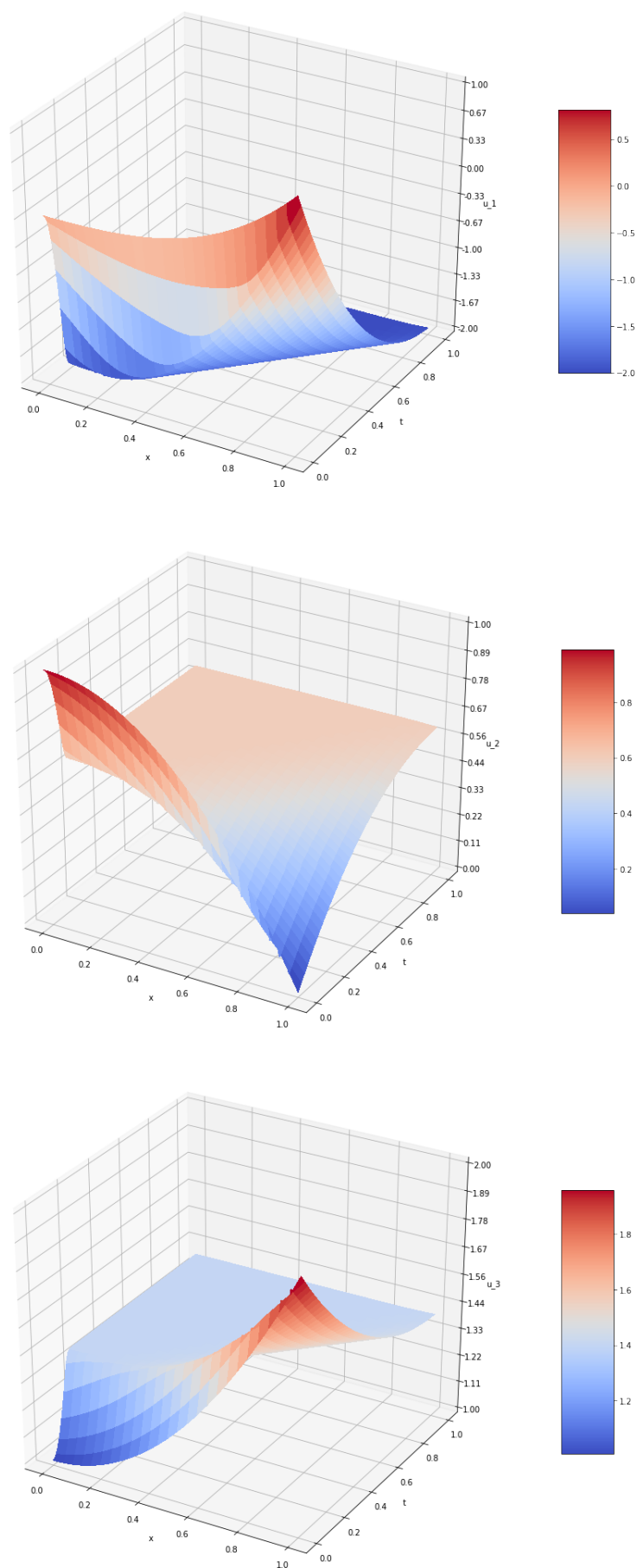


Рис. 3: Схема КИР

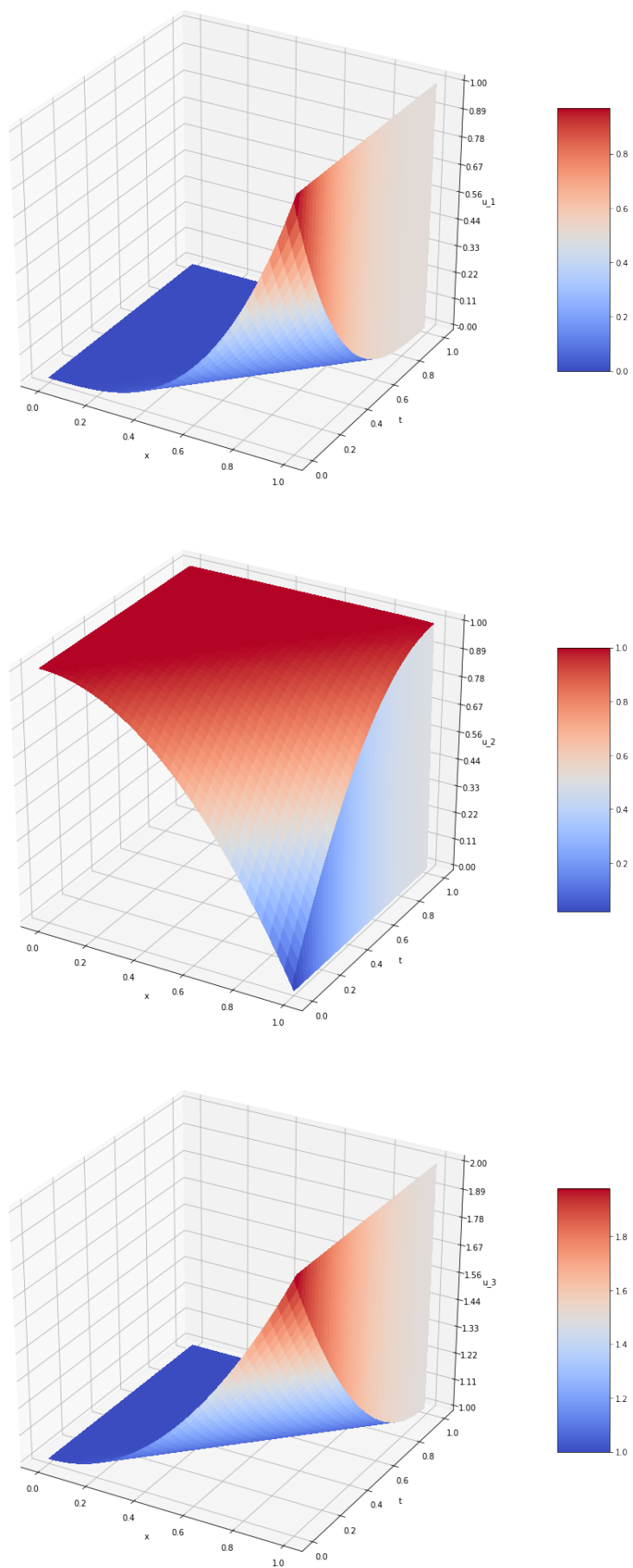


Рис. 4: Гибридная схема Федоренко